

Evaluation of photocatalytic process using GO/ZnO nanocomposites under LED irradiation for removal of Endocrine Disrupting Chemicals (EDCs) from aqueous solutions

Hossieni S¹, Sadeghi S², Saghi MH³, Ghadiri SK⁴

1. MSc Student of Environmental Health Engineering, Student Research Committee, Sabzevar University of Medical Sciences, Sabzevar, Iran. ORCID ID: 0000-0003-1450-6064
2. MSc of Environmental Health Engineering, Spiritual Health Research Center, Research Institute for Health Development, Kurdistan University of Medical Sciences, Sanandaj, Iran.
3. Assistant Professor of Environmental Health Engineering, Non-Communicable Diseases Research Center, Sabzevar University of Medical Sciences, Sabzevar, Iran (Corresponding Author), Tel: +98-05144018319, Email: saghi9@gmail.com, ORCID ID: 0000-0003-1802-7546
4. Assistant Professor of Environmental Health Engineering, Department of Environmental Health Engineering, School of Public Health, Shahrood University of Medical Sciences, Shahrood, Iran.

ABSTRACT

Background and Aim: Endocrine Disrupting Chemicals (EDCs), and potential EDCs are mostly man-made, found in various materials such as pesticides, metals, additives or contaminants in food, and personal care products. Phthalates are a group of these compounds that are carcinogenic to animals and can cause fetal death and congenital anomalies. The aim of this study was to investigate the photocatalytic process using GO/ZnO nanocomposites under LED irradiation for removal of Endocrine Disrupting Chemicals (EDCs) from aqueous solutions.

Materials and Methods: In this study, GO/ZnO nanorods were characterized by, Field emission scanning electron microscopy, transmission electron microscope, and Brunauer–Emmett–Teller surface area analysis. A Central Composite Design was used to optimize the reaction parameters for the removal of DEP by GO/ZnO. The four main reaction parameters optimized in this study were the following: the LED radiation time, pH, and the initial concentration of phthalates and the concentration of ZnO and graphene-oxide. The interaction between the four parameters was studied and modeled using the Design Expert 10 software. Phthalate detected by HPLC apparatus equipped with a UV detector at 225 nm wavelength with methanol (90%) and Acetonitrile (10%) phases.

Results: The results of FE-SEM and TEM showed that the ZnO is composed of a bar and separate face. Based on the peak obtained, the diameter and length of the nanorods are 20-60 and 200 nm respectively. A maximum reduction of 90% of DEP was achieved at pH 5 and 120 minutes. The results represent the prediction of a model fitted from the Quadratic model (p-value<00001).

Conclusion: The interaction of variables showed that the maximum effect was belonged to the pH and the time in the process reactions. Also, the results showed that the GO/ZnO low power LED irradiation can be used as an effective method for the removal of EDCs from environmental.

Keywords: Endocrine Disrupting Chemicals, Photocatalytic, Aqueous solutions, Graphene-oxide, Nanocomposite.

Received: June 19, 2019

Accepted: July 9, 2019

How to cite the article: Hossieni S, Sadeghi S, Saghi MH, Ghadiri SK. Evaluation of photocatalytic process using GO/ZnO nanocomposites under LED irradiation for removal of Endocrine Disrupting Chemicals (EDCs) from aqueous solutions. SJKU 2019;24(4):1-9.

بررسی فرآیند فوتوکالیستی نانوکامپوزیت روی اکسید و اکسید گرافن تحت تابش LED برای حذف مختل کننده‌های غدد درون ریز از محلول‌های آبی

سحر حسینی^۱، شهرام صادقی^۲، محمدحسین ساقی^۳، سیدکمال غدیری^۴

۱. دانشجوی مهندسی بهداشت محیط، کمیته تحقیقات دانشجویی، دانشگاه علوم پزشکی سبزوار، سبزوار، ایران. شناسه ارکید: ۰۰۰۰-۰۰۰۳-۱۴۵۰-۶۰۶۴

۲. کارشناسی ارشد مهندسی بهداشت محیط، مرکز تحقیقات سلامت معنوی، پژوهشکده توسعه سلامت، دانشگاه علوم پزشکی کردستان، سنندج، ایران.

۳. استادیار مهندسی بهداشت محیط، مرکز تحقیقات بیماری‌های غیرواگیر، دانشگاه علوم پزشکی سبزوار، سبزوار، ایران (مولف مسئول)، تلفن ثابت: ۰۵۱۴۴۰۱۸۳۱۹، پست

الکترونیک: saghi9@gmail.com، شناسه ارکید: ۰۰۰۰-۰۰۰۳-۱۸۰۲-۷۵۴۶

۴. استادیار مهندسی بهداشت محیط، گروه مهندسی بهداشت محیط، دانشکده بهداشت، دانشگاه علوم پزشکی شاهرود، شاهرود، ایران.

چکیده

زمینه و هدف: ترکیبات مختل کننده‌ی غدد درون ریز یک گروه از آلاینده‌های خطرناک و پیچیده‌ی هستند که در صنعت پلاستیک، فلزات، بسته‌بندی مواد غذایی و وسایل پزشکی یافت می‌شوند. فتالات‌ها گروهی از این ترکیبات هستند که برای حیوانات سرطانی بوده و می‌توانند باعث مرگ جنین و ناهنجاری‌های مادرزادی شوند. هدف از این مطالعه بررسی فرآیند فوتوکالیستی نانوکامپوزیت روی اکسید و اکسید گرافن تحت تابش LED برای حذف مختل کننده‌های غدد درون ریز از محلول‌های آبی می‌باشد.

روش بررسی: در این مطالعه ابتدا مشخصات نانو اکسید روی و نانو اکسید گرافن با استفاده از BET، FE-SEM تعیین گردید. سپس نانو میله‌های تشکیل شده برای حذف دی اتیل فتالات با در نظر گرفتن متغیرهای زمان تابش، pH، غلظت اولیه فتالات‌ها و غلظت نانواکسیدروی و اکسید گرافن تحت تابش نور مرئی LED مورد مطالعه قرار گرفت. طراحی و مدل سازی آزمون با استفاده از مدل رویه پاسخ و با نرم افزار ۱۰ Design Expert انجام شد. قرائت فتالات‌ها با استفاده از دستگاه HPLC مجهز به دکتور UV و در طول موج ۲۲۵ نانومتر با فازهای متحرک متانول (۹۰٪) و استونیتریل (۱۰٪) انجام شد.

یافته‌ها: نتایج FE-SEM و TEM نشان داد که نانو اکسیدروی صورت میله‌ای و مجزا تشکیل شده‌اند. بر اساس پیک به‌دست آمده اندازه قطر و طول نانو میله‌ها به ترتیب ۶۰-۲۰ نانومتر و ۲۰۰ نانومتر است. بیشترین کارایی در pH برابر ۵ و زمان ماند ۱۲۰ دقیقه به دست آمد که در این حالت کارایی بیش از ۹۰٪ برای حذف دی اتیل فتالات بود. بر اساس مدل سازی فرآیند با نرم افزار Design Expert نتایج نشان دهنده تبعیت مدل طراحی شده از مدل درجه دوم است ($p\text{-value} < 0.0001$).

نتیجه‌گیری: نتایج حاصل از متغیرها نشان می‌دهد که pH و زمان تماس اثر بیشتری در کارایی فرآیند دارند. نانو ساختار مورد استفاده مشابه نانو ساختار رفرنس با ساختار چند وجهی بوده که می‌تواند کارایی مناسبی در حذف مختل کننده غدد درون ریز از منابع آبی تحت تابش نور مرئی LED داشته باشد.

کلیدواژه‌ها: مختل کننده‌های غدد درون ریز، فوتوکالیست، محلول آبی، اکسید گرافن، نانوکامپوزیت.

وصول مقاله: ۹۸/۳/۲۹ اصلاحیه نهایی: ۹۸/۴/۱۶ پذیرش: ۹۸/۴/۱۸

مقدمه

امروزه با توجه به افزایش روزافزون جمعیت، تولید مواد شیمیایی متنوع، گسترش صنایع مختلف و تهدید سلامت اکوسیستم‌ها و موجودات زنده از جمله انسان، مسئله آلودگی محیط‌زیست مخصوصاً آلودگی منابع آبی روز به روز اهمیت بیشتری پیدا می‌کند (۵-۱). فتالات‌ها بخش عمده‌ای از مواد شیمیایی صنعتی را شامل می‌شوند که به‌طور گسترده به عنوان روان‌کننده و نرم‌کننده مواد در صنایع مختلف استفاده می‌شود. تولید رزین‌های پلی وینیل کلرید (پی وی سی) چسب‌ها و رنگ‌های مختلف از سایر کاربردهای این مواد شیمیایی است. در سال‌های اخیر خطر ترکیبات فتالات به دلیل تأثیر بر غدد درون‌ریز، مشکلات تولید مثلی، سرطان‌زایی، سقط مکرر جنین و ... بیش از پیش مورد توجه قرار گرفته است (۶، ۷). اثرات سوء ناشی از تماس با فتالات‌ها در بسیاری از مطالعات به اثبات رسیده است. اثرات سوء بر کبد، کلیه، تیروئید، بافت بیضه از مهمترین اثرات تماس با این مواد به‌شمار می‌روند (۸). فتالات استرها هیچ نوع پیوند شیمیایی با مواد اولیه تولید پلاستیک ندارند و به همین دلیل پس از تولید، رهاسازی این آلاینده‌ها در محیط زیست به‌راحتی در مراحل مختلف تولید، توزیع، حمل و نقل استفاده و ... انجام می‌شود (۸). برخی از گونه‌های فتالات‌ها در افزودنی‌های مواد غذایی به صورت غیرمستقیم مشاهده شده است. در بسته بندی مواد غذایی و نگهداری آنها میزان فتالات گزارش شده است. براساس مطالعات انجام شده غلظت استرهای فتالات در فاضلاب خروجی از صنایعی هم چون آرایشی و بهداشتی، چسب سازی و اسباب بازی، ۱۰ تا ۵۰۰ میلی گرم بر لیتر گزارش شده است (۹، ۱۰).

فناوری فتواکسیداسیون پیشرفته در دهه‌های اخیر توسعه قابل ملاحظه‌ای داشته و اهمیت زیادی در زمینه پساب‌های صنعتی به‌ویژه پساب‌های حاوی مواد آلی مقاوم که روش‌های متداول تصفیه قادر به حذف آنها نیستند، پیدا

کرده است. به‌طور کلی فرآیندهای اکسیداسیون پیشرفته در برگیرنده کلیه فرآیندهایی هستند که در آنها با روش‌های مختلف، رادیکال‌های فعال هیدروکسیل (OH^\bullet) تولید می‌گردد. به خاطر ظرفیت اکسایش بالای رادیکال‌های هیدروکسیل (۲/۸ ولت)، اغلب فرآیندهای اکسایش پیشرفته بر پایه تولید این رادیکال فعال استوار است (۱۴-۱۱). تجزیه بیولوژیکی فتالات‌ها در محیط زمان بر بوده و نیمه عمر ۲۷-۷ روز را دارند و زنجیره‌های فتالات‌ها به سختی تجزیه می‌شوند (۶). در برخی از مطالعات انجام شده برای حذف فتالات‌ها از روش‌های غشایی و التراسونیک استفاده شده است. جذب فتالات‌ها با کربن فعال مورد بررسی قرار گرفته است. در مورد این روش‌ها نسبت به کارایی این روش‌ها هزینه‌های آنها قابل قبول نمی‌باشد و همچنین در استفاده از کربن فعال تولید لجن مازاد از مشکلات این روش می‌باشد (۸).

در مطالعه‌ای Witoon و همکاران در سال ۲۰۱۸ جهت اصلاح نانو اکسید روی و افزایش خاصیت فوتو کاتالیستی آن از گرافن اکساید استفاده کرده اند. در این تحقیق که با دوزهای مختلف و در شرایط متفاوت اصلاح انجام شده است. نتایج نشان دهنده افزایش کارایی اکسید روی بعد از اصلاح با گرافن اکساید می‌باشد (۱۵). در مطالعه Li و همکاران در سال ۲۰۱۲ که بر روی اصلاح نانو اکسید روی و ترکیب آن با گرافن اکساید جهت استفاده از نورمیری برای فعالسازی خاصیت کاتالیستی نانو اکسید روی انجام شد. نتایج نشان داد که گرافن اکساید نقش موثر در انتقال الکترون و کاهش گاف انرژی نانو اکسید روی دارد (۱۶).

Fang و همکاران در سال ۲۰۱۴ مطالعه‌ای بر روی حذف دی بوتیل فتالات‌های (DBP) از شیرابه‌های محل دفن با استفاده از روش‌های بیولوژیکی انجام دادند. نتایج حاصل از این مطالعه نشان می‌دهد که نیمه‌عمر فتالات‌های برای تجزیه بیولوژیکی در شرایط بهینه ۴۹/۵-۳۷ روز هست و میزان حذف در فاز متانی توسط گونه‌ای از انترو باکتر کشت

داده شده به میزان ۶۰٪ می‌باشد (۶). در مطالعه‌ای F. Alatrisme-Mondragon و همکاران در سال ۲۰۰۲ به تجزیه بیولوژیکی DEHP و DBP با استفاده از هضم بی‌هوازی برای تصفیه لجن‌های تصفیه‌خانه فاضلاب و میزان سمیت این نوع فتالات‌های پرداختند. در این مطالعه غلظت DEHP و DBP با توجه به تحقیقات و بررسی لجن‌های فاضلاب در حدود ۵ تا ۵۰۰ میلی‌گرم در لیتر و زمان‌های ۸۲ روز ساعت تا ۱۹۰ روز برای تجزیه در نظر گرفته شد (۱۷). Chan و همکاران در سال ۲۰۰۷ پروژه‌ای پیرامون حذف دی اتیل هگزیل فتالات از محلول‌های آبی به روش فوتو-کاتالیست، با کمک دی اکسید تیتانیوم و کیتین را ارائه دادند (۱۸). Eskandarloo و همکاران در سال ۲۰۱۵ از تابش لامپ LED جهت فعالسازی نانو اکسید تیتانیوم برای حذف آلاینده‌های زیست محیطی استفاده کرده اند (۱۹). هدف از انجام این طرح بررسی میزان حذف دی اتیل فتالات از محلول‌های آبی با استفاده از اکسید روی و اکسید گرافن تحت تابش LED می‌باشد که تاثیر پارامترهای همزمان با استفاده از مدل رویه-پاسخ بررسی شده است.

طراحی آزمون

به منظور ارزیابی تاثیر پارامترهای عملکردی بر روی کارایی تجزیه فتالات‌ها، ۴ پارامتر اصلی انتخاب گردید که شامل غلظت اولیه فتالات‌ها (X1) (mg/L)، زمان واکنش (دقیقه) (X2)، pH (X3) و غلظت اولیه اکسید روی و اکسید گرافن (X4) می‌باشد. برای حذف دی اتیل فتالات با در نظر گرفتن متغیرهای زمان تابش (۱۰، ۳۰، ۶۰، ۱۸۰، ۱۲۰ دقیقه)، pH (۳، ۵، ۷، ۹، ۱۱)، غلظت اولیه فتالات‌ها (۵، ۱۰، ۱۵، ۲۰، ۲۵ میلی‌گرم بر لیتر) و غلظت نانو اکسید روی و اکسید گرافن (۵۰، ۱۰۰، ۱۵۰، ۲۰۰، ۲۵۰ میلی‌گرم بر لیتر) تحت تابش نور مرئی LED مورد مطالعه قرار گرفت.

اندازه‌گیری دی اتیل فتالات

برای اندازه‌گیری دو نوع فتالات از دستگاه HPLC مدل DIONEX ساخته کشور آمریکا با ستون فاز معکوس C18 OCD با اندازه ۲۵۰×۵×۴/۶ با دکتور UV-VIS در طول موج ۲۳۰ نانومتر استفاده شد. فازهای متحرک برای اندازه‌گیری فتالات شامل استونیتریل (۹۰٪) و متانول

داده شده به میزان ۶۰٪ می‌باشد (۶). در مطالعه‌ای F. Alatrisme-Mondragon و همکاران در سال ۲۰۰۲ به تجزیه بیولوژیکی DEHP و DBP با استفاده از هضم بی‌هوازی برای تصفیه لجن‌های تصفیه‌خانه فاضلاب و میزان سمیت این نوع فتالات‌های پرداختند. در این مطالعه غلظت DEHP و DBP با توجه به تحقیقات و بررسی لجن‌های فاضلاب در حدود ۵ تا ۵۰۰ میلی‌گرم در لیتر و زمان‌های ۸۲ روز ساعت تا ۱۹۰ روز برای تجزیه در نظر گرفته شد (۱۷). Chan و همکاران در سال ۲۰۰۷ پروژه‌ای پیرامون حذف دی اتیل هگزیل فتالات از محلول‌های آبی به روش فوتو-کاتالیست، با کمک دی اکسید تیتانیوم و کیتین را ارائه دادند (۱۸). Eskandarloo و همکاران در سال ۲۰۱۵ از تابش لامپ LED جهت فعالسازی نانو اکسید تیتانیوم برای حذف آلاینده‌های زیست محیطی استفاده کرده اند (۱۹). هدف از انجام این طرح بررسی میزان حذف دی اتیل فتالات از محلول‌های آبی با استفاده از اکسید روی و اکسید گرافن تحت تابش LED می‌باشد که تاثیر پارامترهای همزمان با استفاده از مدل رویه-پاسخ بررسی شده است.

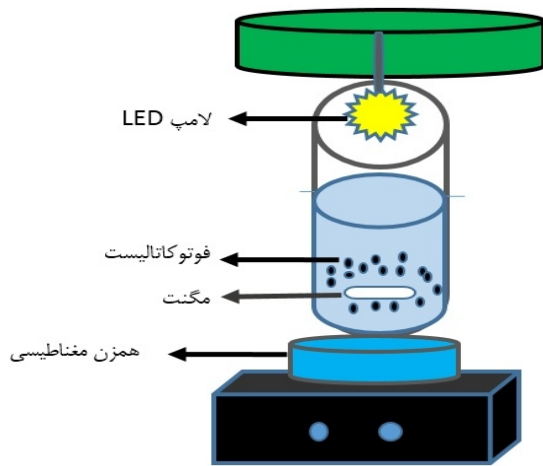
روش بررسی

مواد مورد نیاز

این مطالعه در مقیاس آزمایشگاهی در دانشکده بهداشت دانشگاه علوم پزشکی سبزوار انجام شد. مواد به کار رفته در این مطالعه عبارت بودند از: دی اتیل فتالات، اکسید گرافن، نانو کامپوزیت اکسید روی، متانول (CH₃OH)، اسید هیدرو کلریک (HCL)، سدیم هیدروکسید (NaOH) و استونیتریل. همه موارد مورد استفاده در این مطالعه از شرکت Merck آلمان تهیه شده است. برای تهیه محلول‌های سنتتیک DEP از آب دوبار تقطیر استفاده گردید. pH محلول‌های مورد آزمایش با اسید هیدروکلریک و سدیم هیدروکسید ۱/۰ نرمال تنظیم شد.

سنتز نانو اکسید روی

برای سنتز نانو اکسید روی از روش ارزان، ساده و در دسترس هم‌رسوبی استفاده گردید. بدین منظور ۵/۹۴ گرم از



شکل ۱: شماتیک پابلوت سیستم ناپوسته مورد استفاده در تحقیق

یافته‌ها

آزمون تعیین سطح ویژه

برای تعیین سطح ویژه و تعیین خلل و فرج نانو مواد سنتز شده و همچنین رفتار جذب و واجذب نانو کامپوزیت نمودار جذب و واجذب از نمودار نوع ۲ جذب تبعیت می‌کند. همچنین بر اساس این آنالیز سطح تخلخل ZnO $17/76$ مترمربع به ازای هر گرم می‌باشد و حجم خلل و فرج $0/1402 \text{ cm}^3 \text{ g}^{-1}$ می‌باشد.

آنالیز FE-SEM

برای بررسی ساختار ظاهری و اندازه نانو میله‌ها از FE-SEM استفاده گردید. نانو میله‌ها به خوبی بصورت مجزا و جدا از یکدیگر سنتز شده‌اند همچنین شکل ظاهری آن‌ها کاملاً میله‌ای و کشیده شده است (شکل ۲). اندازه قطر و طول نانو میله‌ها بطور میانگین و به ترتیب ۲۰-۶۰ نانومتر و ۲۰۰ نانومتر می‌باشد.

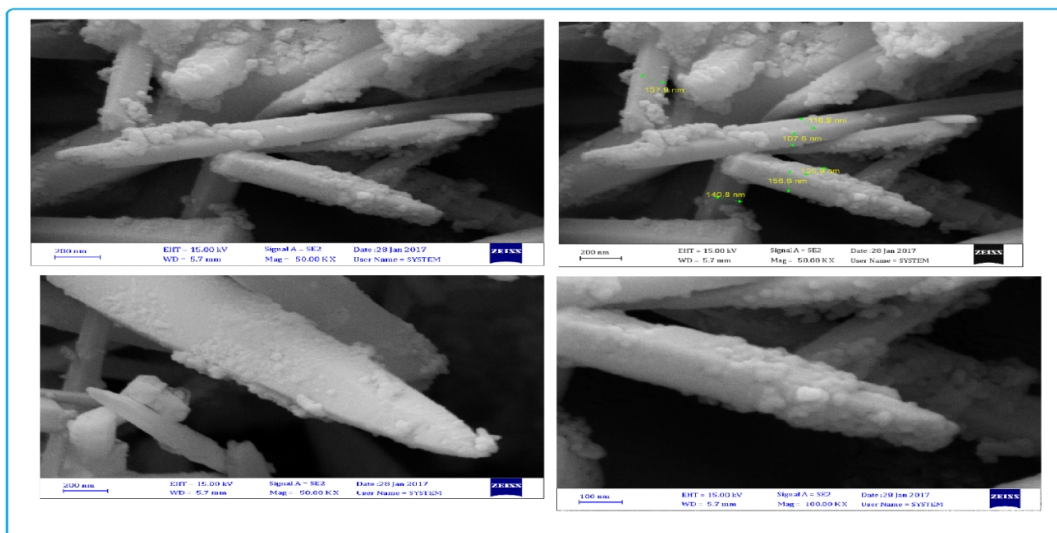
HPLC گرید (۱۰٪) بودند که با دبی $0/8 \text{ ml/min}$ جریان داشتند (۲۱، ۲۰). راندمان تجزیه از طریق رابطه زیر محاسبه می‌شود:

$$E(\%) = \frac{(C_0 - C_e)}{C_0} \times 100$$

که در این رابطه C_0 و C_e غلظت فتالات‌ها قبل و بعد از اکسیداسیون می‌باشد ظرفیت جذب با استفاده از رابطه زیر به دست آمد:

$$q_e = \frac{(C_0 - C_e) V}{M}$$

که در این رابطه، q_e مقدار جزء جذب شده در واحد جرم جسم جاذب برحسب میلی‌گرم بر گرم، C_0 غلظت اولیه محلول قبل از جذب سطحی بر حسب میلی‌گرم بر لیتر محلول، C_e غلظت تعادلی ماده جذب شدنی در محلول بعد از جذب سطحی برحسب میلی‌گرم بر لیتر، V حجم محلول بر حسب لیتر و M جرم جاذب بر حسب گرم است. راکتور مورد استفاده در این تحقیق به شکل استوانه با جنس پیرکس و به ارتفاع ۳۰ سانتی متر بوده که لامپ LED با توان ۷ وات و طول موج ۴۵۰ نانومتر در قسمت مرکزی آن قرار داشت (شکل شماره ۱). اختلاط این راکتور با استفاده از همزن مغناطیسی انجام می‌شد (۲۰).



شکل ۲: تصویر FE-SEM نانو میله های ZnO

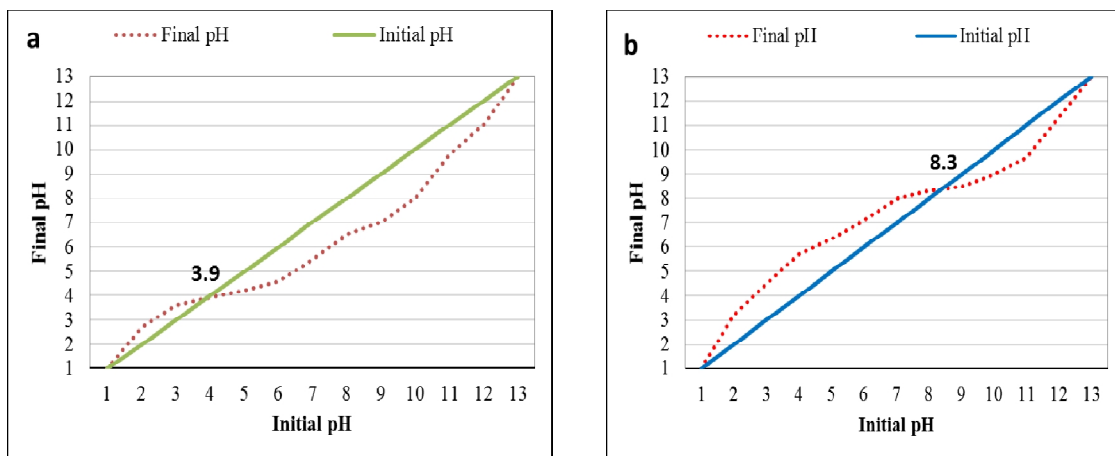
بررسی خصوصیات اکسید گرافن:

برای بررسی خصوصیات نانو اکسید گرافن مورد استفاده در تحقیق چند آنالیز پرکاربرد از جمله محاسبه سطح فعال نانو اکسید گرافن انجام شد. که مهمترین فاکتور برای یک جاذب، محاسبه میزان سطح فعال آن جاذب است. سطح فعال برای اکسید گرافن ۴۷۹/۸۷ مترمربع به ازای هر گرم به دست آمد (جدول ۲).

جدول ۲: سطح فعال نانو بیوگرافن

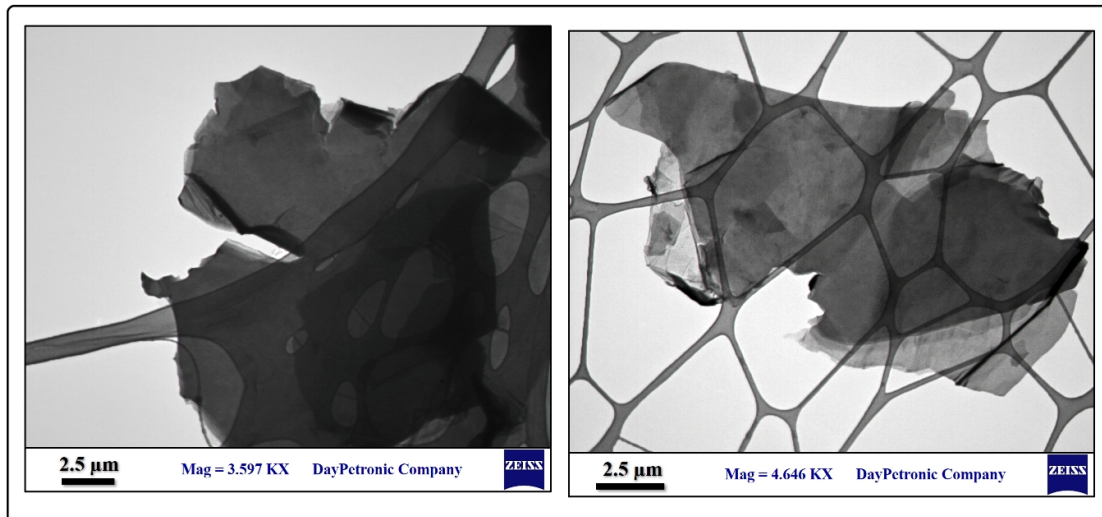
سطح فعال نانو گرافن (متر مربع بر گرم)		دمای فعال سازی
میانگین سه آزمایش	نمونه در دسترس	
۴۸۹/۶۷ ± ۶/۷۲	۴۷۹/۸۷	۷۸۷/۶۹

بر اساس نتایج حاصله، با اصلاح سطحی نانو اکسید گرافن pH_{pzc} این ماده از ۳/۹ به ۸/۳ افزایش یافته است. نتایج حاصل از این تست که با نتیجه آزمون طیف مادون قرمز مبدل فوریر همخوانی دارد، بیانگر اتصال گروه‌های آمینو به سطح نانو بیوگرافن و تشکیل یک مبادله کننده آنیونی می‌باشد.



شکل ۳: pH در نقطه بار صفر الکتریکی (a) نانو بیوگرافن فعال شده در دمای ۷۸۷/۶۹ درجه سلسیوس و (b) نانو بیوگرافن اصلاح شده به روش پیوند گروه‌های آمینی.

شکل ۴ سمت چپ تصویر TEM نانو بیوگرافن که هدف از آن نشان دادن تعداد لایه‌های تشکیل شده حاصل از فرآیند احیاء دما-شیمیایی می‌باشد. به همین منظور تصاویر TEM با بزرگ‌نمایی‌های مختلف و از زوایای مختلف ارایه شده است.



شکل ۴: TEM اکسید گرافن مورد استفاده جهت حذف EDC

متغیرها هم نشان می‌دهد که مقدار دوز اولیه کاتالیست و زمان ماند در مدل معنی‌دار است.

آنالیز RSM جهت تجزیه و تحلیل متغیرهای پاسخ
بر اساس آنالیز واریانس که در جدول ۳ نشان داده شده است. مدل معنی‌دار بود و متغیرهای غلظت اولیه، دوز و زمان واکنش تاثیر معنی‌داری داشته‌اند. بر همکنش

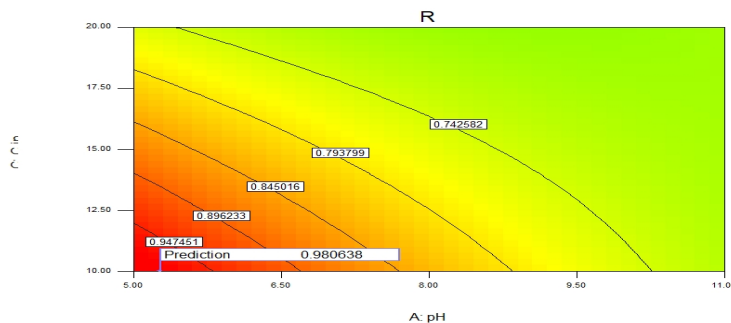
جدول ۳: جدول آنالیز واریانس جهت حذف EDC با استفاده از نانو اکسید روی و اکسید گرافین

Sum of Source	Squares	Mean df	F Square	p-value Value	Prob > F
Model		۰/۸۷	۱۴	۰/۰۶۲	۳۳/۷۸ < ۰/۰۰۰۱
A-pH	۰/۰۱۳	۱	۰/۰۱۳	۷/۲۲	۰/۰۱۶۹
B-Dose		۰/۳۴	۱	۰/۳۴	۱۸۵/۸۲ < ۰/۰۰۰۱
C-C in		۰/۱۴	۱	۰/۱۴	۷۶/۱۶ < ۰/۰۰۰۱
D-Time		۰/۰۴۳	۱	۰/۰۴۳	۲۳/۵۴ ۰/۰۰۰۲
AB	۰/۰۲۳	۱	۱	۱۲/۷۴	۰/۰۰۲۸
AC		۰/۰۲۲	۱	۰/۰۲۲	۱۲/۱۰ ۰/۰۰۳۴
AD	۷/۸۰۶E-۰۰۳		۱	۷/۸۰۶E-۰۰۳	۴/۲۴ ۰/۰۵۷۳
BC	۳/۳۹۹E-۰۰۷		۱	۳/۳۹۹E-۰۰۷	۱/۸۴۶E-۰۰۴ ۰/۹۸۹۳
BD	۰/۰۱۱		۱	۰/۰۱۱	۶/۱۵ ۰/۰۲۵۵
CD	۹/۵۹۵E-۰۰۳		۱	۹/۵۹۵E-۰۰۳	۵/۲۱ ۰/۰۳۷۵
A ²	۴/۶۲۹E-۰۰۳		۱	۴/۶۲۹E-۰۰۳	۲/۵۱ ۰/۰۳۳۷
B ²	۰/۲۳	۱	۰/۲۳	۱۲۶/۴۳	< ۰/۰۰۰۱
C ²	۴/۳۰۵E-۰۰۴		۱	۴/۳۰۵E-۰۰۴	۰/۲۳ ۰/۶۳۵۷
D ²	۲/۳۹۸E-۰۰۳		۱	۲/۳۹۸E-۰۰۳	۱/۳۰ ۰/۲۷۱۷
Residual		۰/۰۲۸	۱۵	۱/۸۴۲E-۰۰۳	
Lack of Fit		۰/۰۲۲	۱۰	۲/۲۰۳E-	۰/۲۳۵۱ not significant
Pure Error	۵/۵۹۰E-۰۰۳		۵	۱/۱۱۸E-۰۰۳	
Cor Total		۰/۹	۲۹		
Std. Dev.	۰/۰۴۳			R-Squared	۰/۹۶۹۳
Mean	۰/۷			Adj R-Squared	۰/۹۴۰۶

فرمول‌های استخراجی از نرم افزار در زیر نشان داده شده است. فرمول نهایی منتج شده از نرم افزار بر اساس متغیرهای مورد مطالعه به شکل زیر می‌باشد.

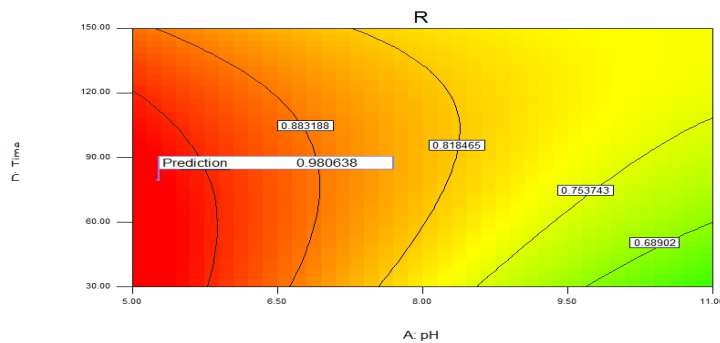
$$R = +0.077316 - 0.088902 * pH + 0.017730 * Dose - 0.060769 * C_{in} + 9.22536E-004 * Time - 3.82901E-004 * pH * Dose + 3.73149E-003 * pH * C_{in} + 3.68121E-004 * pH * Time - 5.83008E-007 * Dose * C_{in} - 1.77427E-005 * Dose * Time + 1.63260E-004 * C_{in} * Time + 3.24763E-003 * pH^2 - 3.68524E-005 * Dose^2 + 1.58470E-004 * C_{in}^2 - 1.03898E-005 * Time^2$$

شکل ۶ تاثیر زمان ماند و pH را در میزان حذف دی اتیل فتالات را نشان می‌دهد. بیشترین راندمان حذف مربوط به بازه زمانی ۳۰ تا ۱۲۰ دقیقه و pH ۵ تا ۶ می‌باشد.



شکل ۶: تاثیر زمان و pH بر کارایی حذف DEP (غلظت DEP، ۵۰ mg/l - تحت تابش LED با قدرت ۷ وات)

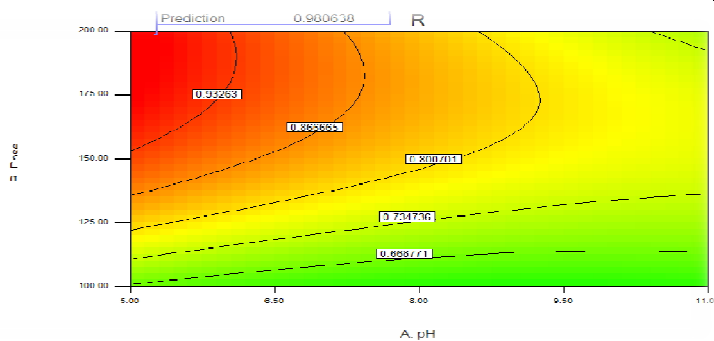
در شکل ۷ تاثیر میزان pH و غلظت آلاینده DEP در کارایی حذف DEP بررسی شده است. طبق تصویر بیشترین راندمان حذف در محدوده pH بین ۵ تا ۶ و غلظت ۱۰ mg/l دی اتیل فتالات به دست آمده است.



شکل ۷: تاثیر غلظت آلاینده و pH بر کارایی حذف DEP (غلظت DEP، ۵۰ mg/l - تحت تابش LED با قدرت ۷ وات)

بین ۱۵۰ تا ۲۰۰ میلی گرم بر لیتر به دست آمده است. با کاهش pH و افزایش دوز جاذب میزان حذف DEP افزایش می‌یابد.

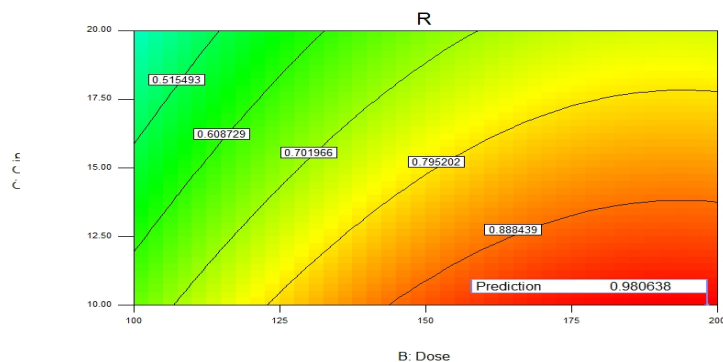
در شکل ۸ تاثیر تغییرات pH و میزان دوز جاذب را بر میزان حذف DEP نشان داده شده است. بیشترین راندمان به دست آمده در محدوده pH ۵ تا ۶ و میزان دوز جاذب



شکل ۸: تاثیر pH و دوز جاذب بر کارایی حذف DEP (غلظت DEP، ۵۰ mg/l، تحت تابش LED با قدرت ۷ وات)

مربوط به میزان دوز ۱۵۰ تا ۲۰۰ mg/l از جاذب و میزان غلظت ۱۰ تا ۱۲ mg/l از آلاینده DEP مشاهده گردید.

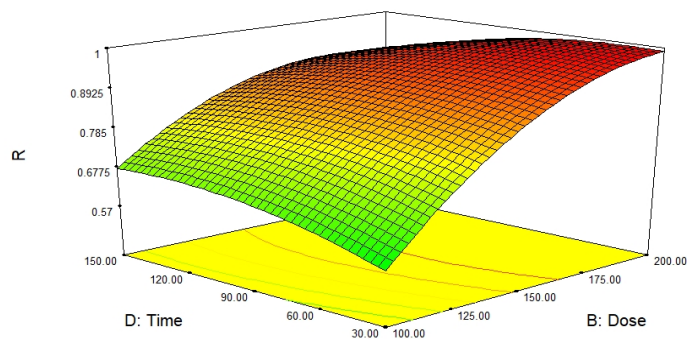
در شکل ۹ میزان دوز جاذب در مقابل میزان غلظت آلاینده DEP بررسی گردید. بیشترین راندمان حذف آلاینده



شکل ۹: تاثیر دوز جاذب و غلظت آلاینده بر کارایی حذف DEP (غلظت DEP، ۵۰ mg/l، تحت تابش LED با قدرت ۷ وات)

اثر زمان تماس و دوز نانو کاتالیست در حذف DEP با استفاده از GO-ZnO/LED را در pH برابر ۷ را نشان می‌دهد. مناسب‌ترین دوز نانو کاتالیست برابر ۲۰۰ میلی‌گرم در لیتر انتخاب گردید.

بر همکنش اثر دوز نانو کاتالیست در حذف DEP با استفاده از GO-ZnO/LED در RSM نتایج حاصل از مطالعه نشان دهنده افزایش کارایی حذف با افزایش دوز نانو کاتالیست می‌باشد. شکل ۱۰ بر همکنش



شکل ۱۰: برهمکنش اثر زمان تماس و دوز نانو کاتالیست در حذف DEP با استفاده از GO-ZnO/LED (pH برابر با ۷ و غلظت اولیه جاذب ۱۰ میلی‌گرم بر لیتر)

بحث

در ابتدای فرآیند جذب با توجه به وجود تعداد زیاد مکان‌های جذب، تفاوت زیادی بین غلظت ماده جذب شونده موجود در محلول و بر روی سطح جاذب وجود دارد. این تفاوت غلظت سبب افزایش جذب در مراحل اولیه جذب می‌شود. بر اساس نتایج، روند افزایشی بازده جذب DEP پس از زمان تماس یک ساعت به دلیل تجمع استرها بر روی مکان‌های جذب به تدریج کاهش یافت و زمان تعادل در ۱۲۰ دقیقه به دست آمد. بر اساس نتایج به دست آمده از مطالعه، مشخص گردید که کارآیی حذف در pH اسیدی بیشتر است، با افزایش pH و تراکم یون‌های هیدروکسیل میزان نفوذ نور LED کاهش می‌یابد و همچنین pH بالا سبب افزایش تشکیل یون کربنات شده که اسکاونجر یون OH می‌باشد لذا سبب کاهش میزان تجزیه فتالات خواهد شد (۲۲). طی مطالعه‌ای که Pardeshi و همکاران در سال ۲۰۰۸ بر روی تجزیه فوتوکالیستی فنل توسط نانوذرات اکسید روی با استفاده از انرژی خورشیدی انجام دادند در شرایط ثابت به این نتیجه رسیدند که pH برابر ۵، pH بهینه جهت حذف فنل می‌باشد. کارآیی حذف فتالات‌ها در pHهای بالاتر، کمی افزایش می‌یابد در pHهای قلیایی شارژ بار سطحی نانوذره منفی می‌شود و میزان حذف افزایش می‌یابد؛ اما به طور کلی کارآیی فرآیند فوتوکالیستی جهت احیاء انواع مختلف ترکیبات با افزایش pH، افزایش می‌یابد (۲۳). علت این امر آن است که پتانسیل باند هدایت در نیمه‌رساناها وابسته به pH محلول می‌باشد. با افزایش pH، پتانسیل Redox باند هدایت منفی تر شده و به این ترتیب امکان احیاء ترکیبات بیشتری وجود خواهد داشت. بیشترین کارآیی حذف هر دو نوع فتالات با استفاده از نانوفتوکالیست pH اسیدی و برابر ۳ به دست آمد که دلیل این امر تولید رایکال‌های آزاد بیشتر در محیط اسیدی می‌تواند باشد. به علت اینکه پتانسیل تجزیه ZnO نسبت به آب کمتر است در نتیجه الکترون‌ها از ZnO به حفره‌های تولید

شده فتونی منتقل شده و در اثر خوردگی نوری ZnO اکسیده می‌شود (۲۰). نتایج حاصل از این مطالعه نشان داد که با افزایش زمان تابش میزان کارآیی حذف افزایش پیدا می‌کند. در غلظت اولیه DEP ۱۰ میلی‌گرم بر لیتر و دوز نانوکالیست ۱۰۰ میلی‌گرم بر لیتر را نشان می‌دهد و pH برابر ۵ در زمان ماند ۳۰ دقیقه کارآیی حذف ۶۱/۹۴٪ بوده است که با افزایش زمان به ۱۲۰ دقیقه کارآیی حذف به ۷۴/۴۵٪ افزایش یافت. با افزایش کارآیی حذف فتالات با گذشت زمان به این دلیل است که با گذشت زمان ایجاد حفره (h^+) در سطح نانو ذره بیشتر شده و در نتیجه سطح مقطع جذب و کارآیی حذف نیز افزایش می‌یابد همچنین عداد پرخوردها در واحد زمان بیشتر شده در نتیجه کارآیی حذف افزایش می‌یابد (۸).

مدل‌های مختلف برای تجزیه فوتوکالیستی دو نوع فتالات توسط نرم افزار Design Expert برازش گردید که مدل درجه دوم کمترین مقدار p-value را داشت و مناسب‌ترین مدل بر اساس نتایج آزمایش بود. با توجه به جدول آنالیز میزان F-value مدل برابر با ۶۵/۴۳ می‌باشد و مقدار عددی "Prob > F" کمتر از ۰/۰۵ است؛ بنابراین مدل برازش شده معنی‌دار است و برای پارامترهای A, C, D, AC, AD, BC, معنی‌دار می‌باشد. نرم افزار مدل درجه دو را پیشنهاد می‌کند که کفایت مدل بر اساس آنالیز واریانس چک شده است. Lack-of-fit (LOF) برای یک مدل زمانی اتفاق می‌افتد که مدل بصورت مناسب پاسخ میانگین بر حسب تابعی از سطح فاکتور را نشان نمی‌دهد. معنی‌دار نبودن Lack of Fit نشان دهنده قابلیت پیش بینی مناسب مدل می‌باشد؛ که برای مدل برازش شده در این تحقیق برای حذف فتالات مقدار Lack of Fit غیر معنی‌دار می‌باشد که نشان دهنده مناسب بودن مدل برازش شده است. بر اساس نتایج Box-Cox بهترین Lambda برابر ۱/۷ می‌باشد که در این مدل برابر ۱ شده است و نشان دهنده معتبر بودن مدل برازش شده می‌باشد. ضریب تغییرات (C.V)،

دهنده مناسب بودن و کارآمد بودن نانو اکسید روی و اکسید گرافن در حذف DBP می باشد.

تشکر و قدردانی

پژوهش حاضر بخشی از پایان نامه دانشجو خانم سحر حسینی می باشد که با حمایت مالی معاونت تحقیقات و فن آوری دانشگاه علوم پزشکی سبزوار با کد اخلاق ۱۳۹۶/۹۰ انجام شده است. از این رو محققین این مطالعه بر خود لازم می دانند از معاونت محترم و نیز مسئولین آزمایشگاه که نهایت همکاری را بر ما داشته اند تشکر صمیمانه به عمل آورند.

نسبت خطای استاندارد تخمین به متوسط مقدار پاسخ پیش بینی شده است و به عنوان قابلیت تکرار پذیری مدل تعریف می گردد. زمانی یک مدل تکرار پذیر در نظر گرفته می شود که مقدار C.V آن کمتر از ۱۰ درصد باشد (۲۰).

نتیجه گیری

نتایج نشان می دهد که بیشترین کارایی در pH برابر ۵ و زمان ماند ۱۲۰ دقیقه به دست آمد که در این حالت کارایی بیش از ۹۸٪ برای حذف دی اتیل فتالات بود. بر اساس مدل سازی فرآیند با نرم افزار Design Expert نتایج نشان دهنده تبعیت مدل طراحی شده از مدل Quadratic می باشد (p-value < ۰/۰۰۰۱). نتایج حاصل از مطالعه نشان

References

1. Khodadadi M, Al-Musawi TJ, Kamranifar M, Saghi MH, Panahi AH. A comparative study of using barberry stem powder and ash as adsorbents for adsorption of humic acid. *Environ Sci Pollut Res* 2019;26: 26159-69.
2. Khodadadi M, Saghi MH, Azadi NA, Sadeghi S. Adsorption of chromium VI from aqueous solutions onto nanoparticle sorbent: chitozan-Fe-Zr. *J Mazandaran Univ Med Sci* 2016; 26: 70-82. [In Persian]
3. Khaniabadi YO, Basiri H, Nourmoradi H, Mohammadi MJ, Yari AR, Sadeghi S, Amrane A. Adsorption of Congo Red Dye from aqueous solutions by montmorillonite as a low-cost adsorbent. *Int J Chem React Eng* 2018;1:1-11.
4. Mohammadi MJ, Khaniabadi YO, Basiri H, Amrane A, Nourmoradi H, Momtazan M, Sadeghi S, Charkhloo E, Gholami-Borujeni F, Jorfi S, Takdastan A. Montmorillonite as adsorbent for the removal of methyl red from aqueous solution. *Fresenius Environ Bull* 2017; 26:4088-96.
5. Gholami Z, Ghadiri SK, Avazpour M, Fard MA, Yousefi N, Talebi SS, et al. Removal of phosphate from aqueous solutions using modified activated carbon prepared from agricultural waste (*Populus caspica*): optimization, kinetic, isotherm, and thermodynamic studies. *Desalination Water Treat* 2018;133:177-90.
6. Fang C-r, Long Y-y, Shen D-s. Removal of dibutyl phthalate from refuse from different phases of landfill in the presence of its dominant bacterial strains. *Ecol Eng* 2014; 71: 87-93.
7. Food and Drug Administration. Safety Assessment of Di (2-ethylhexyl) Phthalate (DEHP) Release from Medical Devices. US Food and Drug Administration, Washington, DC <http://www.fda.gov/cdrh/ost/dehp-pvc.pdf>. 2002.
8. Lutterbeck CA, Machado EL, Kümmerer K. Photodegradation of the antineoplastic cyclophosphamide: A comparative study of the efficiencies of UV/H₂O₂, UV/Fe₂+H₂O₂ and UV/TiO₂ processes. *Chemosphere* 2015;120:538-46.
9. Jonsson S, Ejlertsson J, Svensson Bh. Transformation of phthalates in younglandfill cells. *Waste Manag* 2003;23:641-51.

10. Kalmykova Y, Moona N, mvall A-MS, rklund KB .Sorption and degradation of petroleum hydrocarbons, polycyclic aromatic hydrocarbons, alkylphenols, bisphenol A and phthalates in landfill leachate using sand, activated carbon and peat filters. *Water Res* 2014;56: 246 -57.
11. Castro CA, Osorio P, Sienkiewicz A, Pulgarin C, Centeno A, Giraldo SA. Photocatalytic production of $1O_2$ and OH mediated by silver oxidation during the photoinactivation of *Escherichia coli* with TiO_2 . *J Hazard Mater* 2012;172– 81.
12. Donkova B. Catalytic and photocatalytic activity of lightly doped catalysts M: ZnO (M= Cu, Mn). *Mater Chem Phys* 2010;123:563-8.
13. Gholami M, Farzadkia M, Zandsalimi Y, Sadeghi S, Abouee Mehrizi E. Efficacy of Cr-doped ZnO nanoparticles in removal of reactive black 5 dye from aqueous solutions in presence of solar radiation. *J Mazandaran Univ Med Sci* 2016; 26: 59-69. [In Persian]
14. Zandsalimi Y, Sadeghi S, Reshadmanesh N, Ghahramani E. Efficacy of photocatalytic removal of chromium in the presence of organic matter from aqueous medium by using TiO_2 nanoparticles synthesized by sol gel. *SJKU* 2018;22:84-95. [In Persian]
15. Witoon T, Numpilai T, Phongamwong T, Donphai W, Boonyuen C, Warakulwit C, et al. Enhanced activity, selectivity and stability of a $CuO-ZnO-ZrO_2$ catalyst by adding graphene oxide for CO_2 hydrogenation to methanol. *Chem Eng J* 2018;334:1781-91.
16. Li B, Liu T, Wang Y, Wang ZJJoc, science i. ZnO/graphene-oxide nanocomposite with remarkably enhanced visible-light-driven photocatalytic performance. *J Colloid Interface Sci* 2012;377:114-21.
17. Agency for Toxic Substances and Disease Registry (ATSDR). Toxicological profile for Di (2-ethylhexyl) phthalate. Agency for Toxic Substances and Disease: Atlanta, GA; 2002.
18. Chan CM, Wong KH, Chung WK, Chow TS, Wong PK. Photocatalytic degradation of di (2-ethylhexyl) phthalate adsorbed by chitin A. *Water Sci Technol* 2007 56:125-34.
19. Eskandarloo H, Badii A, Behnajady MA, Ziarani GM. UV-LEDs assisted preparation of silver deposited TiO_2 catalyst bed inside microchannels as a high efficiency microphotoreactor for cleaning polluted water. *Chem Eng J* 2015;270:158–67.
20. Akbari-Adergani B, Saghii M, Eslami A, Mohseni-Bandpei A, Rabbani MJEt. Removal of dibutyl phthalate from aqueous environments using a nanophotocatalytic Fe, Ag-ZnO/VIS-LED system: modeling and optimization. *Environ Technol* 2018;39:1566-76.
21. Yuliya K, Moona N, Stro`mvall A-M, Bjo`rklund K. Sorption and degradation of petroleum hydrocarbons, polycyclic aromatic hydrocarbons, alkylphenols, bisphenol A and phthalates in landfill leachate using sand, activated carbon and peat filters. *Water Res* 2014; 56:246-57.
22. Eslami A, Akbari-Adergani B, A M-B, Rabbani M, MH. S. Synthesis and characterization of a coated Fe-Ag@ ZnO nanorod for the purification of a polluted environmental solution under simulated sunlight irradiation. *Mater Lett* 2017;197:205-8.
23. Pardeshi SK, Patil AB. A simple route for photocatalytic degradation of phenol in aqueous zinc oxide suspension using solar energy. *Sol Energy* 2008;82:700-5.